

## БЕСПОРОГОВЫЕ ДИССИПАТИВНЫЕ БАЛЛОНЫ МОДЫ

О.П.Погуце, Э.И.Юрченко

В настоящей работе показано, что диссипативные баллонные моды в токамаке не имеют порога по величине градиента давления и развиваются с инкрементом, существенно большим обратного скинового времени  $\gamma \sim 1/\tau_s (\tau_s/\tau_\theta)^{2/3}$  ( $\tau_s$  – скиновое время,  $\tau_\theta$  – альфеновское время по полю тока,  $\tau_s/\tau_\theta \gg 1$ ).

Влияние конечной проводимости на желобковую неустойчивость торoidalного плазменного шнуря было рассмотрено в работах [1, 2].

Основной эффект учета конечной проводимости заключался в исчезновении стабилизирующего влияния шира. Неустойчивость имела порог по величине градиента давления и начинала развиваться, когда баллонный эффект превосходил стабилизацию за счет магнитной ямы. Инкремент этой неустойчивости  $\gamma \sim 1/\tau_s (\tau_s/\tau_\theta)^{2/3}$  был ( $\tau_s$  – скиновое время,  $\tau_\theta$  – альфеновское время по полю тока) много больше обратного скинового времени.

Прогресс в исследовании баллонных мод желобковой неустойчивости идеальной плазмы показал, что необходимый критерий устойчивости для идеальных баллонных мод оказался жестче критерия Мерсье [3] за счет новых дестабилизирующих членов, связанных с широм [4]. При этом возник парадокс: порог диссипативной желобковой неустойчивости, следующий из работ [1, 2], оказался выше порога идеальных баллонных мод, полученного в работе [4]. Этот парадокс будет разрешен ниже.

В настоящей работе исследуются диссипативные баллонные моды, исходя из уравнений одножидкостной магнитной гидродинамики при учете сжимаемости. Возмущения плазмы, следуя методу работы [5], описываются с помощью электростатического потенциала  $\tilde{\phi}$ , продольной компоненты векторного потенциала  $\tilde{A}_s$  и возмущенного давления  $\tilde{P}$ . При этом преобразование, предложенное в работе [6], в пределе больших азимутальных чисел ( $m \approx nq \gg 1$ ) сводит линеаризованную исходную систему к двум уравнениям для Фурье – образов  $\phi$  и  $P$ :

$$\frac{d}{dy} \frac{\Delta}{(1 + \Delta/\Gamma)} \frac{d\phi}{dy} - \gamma^2 \tau_\theta^2 (1 + S^2 \gamma^2) \phi + \frac{\alpha R B^s}{2} \left( \frac{\partial}{\partial \rho} \frac{1}{B^s} - \frac{S y}{\rho} \frac{\partial}{\partial y} \frac{1}{B^s} \right) P = 0, \quad (1)$$

$$\left( 1 - \frac{1}{\gamma^2 \tau_c^2} \frac{d^2}{dy^2} \right) P - \left[ 1 - \frac{1}{\gamma^2 \tau_c^2} \frac{d}{dy} \frac{1}{(1 + \Delta/\Gamma)} \frac{d}{dy} \right] \phi = 0. \quad (2)$$

Здесь  $S = q' \rho / q$ ,  $a = -2 P_o'' R q^2 / B^2$ ,  $\tau_\theta = R q / C_A$ ,  $C_A^2 = B^2 / 4 \pi \rho_o$ ,  $\tau_c = R q / C_S$ ,  $C_s^2 = \gamma_o P_o / \rho_o$ ,  $\tau_s = 4 \pi \sigma a^2 / c^2$ ,  $a$  и  $R$  – малый и большой радиусы тора;  $q$  – коэффициент запаса устойчивости,  $\Gamma = \gamma \tau_s / n^2 q^2$ ,  $\Delta = \rho \left( \frac{g_{11}}{\sqrt{g}} + \frac{s^2 \gamma^2}{\rho^2} \frac{g_{22}}{\sqrt{g}} - 2 \frac{S y}{\rho} \frac{g_{12}}{\sqrt{g}} \right)$ , где  $g_{ik}$  – метрические ко-

эффициенты поверхностной системы координат с прямыми силовыми линиями [7].

В случае идеально проводящей плазмы  $y \sim 1/\tau_\theta$ , при этом  $\Delta \ll \Gamma$ , и система уравнений (1), (2) сводится к одному уравнению второго порядка для  $\phi$  [8].

В случае неидеально проводящей плазмы  $y \ll 1/\tau_\theta$  в ур. (1), (2) имеется два различных масштаба,  $y \sim 1$  и  $y \gg 1$ . Это позволяет применить к ним метод усреднения Ван дер Поля.

Баллонные моды в токамаке при  $nq \gg 1$  представляют собой локализованные по радиусу шнура возмущения, которым соответствуют в усредненном уравнении большие характеристики  $y$ . При  $y^2 \gg M^2/\Gamma^2$  уравнения (1), (2) сводятся к одному усредненному уравнению. Для круговых магнитных поверхностей оно имеет следующий вид:

$$\Gamma P''' - \left\{ \frac{\Gamma^2}{N^2} (1 + S^2 y^2) + \alpha U_o - \frac{\alpha^2 (1 + S^2 y^2 + M^2/\Gamma^2)}{2\Gamma(1 + M^2/\Gamma^2)[1 + \Gamma(1 + S^2 y^2)/N]} \right\} P = 0. \quad (3)$$

Здесь  $M = \tau_s / \tau_c n^2 q^2$ ,  $N = \tau_s / \tau_\theta n^2 q^2$  параметры, характеризующие отношение скинового времени к звуковому и альфеновскому, соответст-

венно,  $M^2 = \gamma_0 \beta N^2$ , где  $\gamma_0$  – показатель адиабаты (в высокотемпературной плазме  $N >> 1$ ),  $v_0$  – магнитная яма в токамаке [7].

Можно показать, что в обратном предельном случае  $y^2 \ll M^2/\Gamma^2$  неустойчивость существенно ослабляется. Условие  $y^2 > M^2/\Gamma^2$  в обычных обозначениях выглядит как  $y^2 > K_{\text{II}}^2 C_s^2$  и означает, что усредненное возмущение давления не успевает выравниваться вдоль силовых линий.

Анализ уравнения (3) показывает, что вид его потенциала существенно зависит от величин отношений  $S/S_k$  ( $S_k = a^{1/2}/Nv_0^{1/2}$ ),  $a/a_k$  ( $a_k$  определяется из условия  $a/2 = v_0$ ) и  $\beta/\beta_k$  ( $\beta_k = a^{4/3}/N^{2/3}$ ). При очень малых ширах  $S \ll S_k$  и давлениях  $\beta < \beta_k$  из уравнения (3) следует, как и в работе [9], малый инкремент порядка обратного склонового времени  $\Gamma = a/2v_0$ .

В настоящей работе будут рассматриваться системы с широм, представляющим практический интерес  $S \sim 1$  (естественно,  $S >> S_k$ ). Будем решать уравнение (3) вариационным методом. Запишем функционал, соответствующий этому уравнению, и подставим в качестве пробной функции функцию вида:  $P = 1/(\lambda^2 + y^2)$ , где  $\lambda$  – вариационный параметр.

После варьирования получим выражения для определения инкремента и параметра  $\lambda$ :

$$(\Gamma^3 + \gamma_0 \beta N^2 \Gamma) [1 - N^2 \left( \frac{a^2}{2} - \nu v_0 \right) / 2S^2 \Gamma^2 \lambda^2] = a^2 N^2 / 2, \quad (4)$$

$$N^2 \left( \frac{a^2}{2} - \alpha v_0 \right) / \Gamma^2 \lambda^2 + S^3 \Gamma^{1/2} \lambda / N = N^2 / \Gamma \lambda^4. \quad (5)$$

В случае больших давлений при  $\beta >> \beta_k$ , когда существенно возмущение магнитного поля, выражение для инкремента имеет вид

$$\Gamma = \frac{N^{2/3}}{S^{2/3}} \left( \frac{a^2}{2} - \alpha v_0 \right)^{1/3} \quad \alpha \geq a_k; \quad \Gamma = 0 \quad \alpha \leq a_k. \quad (6)$$

Этот инкремент соответствует непотенциальной гравитационно-диссипативной неустойчивости [1, 2], имеющей пороговый характер по градиенту давления.

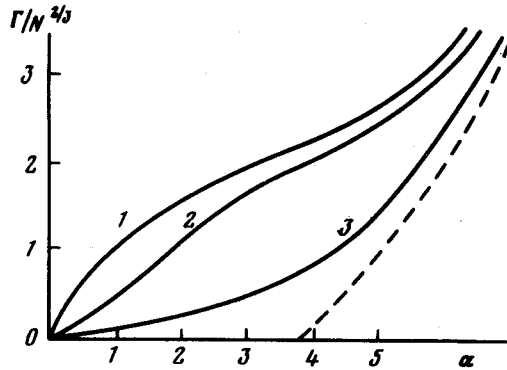
В случае малых давлений плазмы при  $\beta \ll \beta_k$  и  $\alpha \ll a_k$ . Из (4), (5) можно получить соотношение

$$\Gamma^3 + \gamma_0 \beta N^2 \Gamma = a^2 N^2 / 2. \quad (7)$$

Из этого выражения следует качественно новый результат: инкремент диссипативных баллонных мод не имеет порога по градиенту давления. Неустойчивость начинает развиваться при любом сколь угодно малом градиенте с инкрементом  $\Gamma \sim a^{2/3} N^{1/3} (\gamma \sim 1/\tau_s (\tau_s/\tau_\theta)^{1/3})$ . Таким образом полностью снимается парадокс, о котором говорилось выше.

Общий случай изображен на рисунке, где представлена зависимость инкремента диссипативных баллонных мод от величины градиента дав-

ления плазмы  $\alpha$  при различных значениях величины давления. Кривая 1 соответствует  $\beta$  равному нулю или полностью сжимаемой жидкости  $\gamma_0 = 0$ , кривая 2 построена при  $\tilde{\beta} = \beta \gamma_0^{2/3} = 1$ , кривая 3 — при  $\tilde{\beta} = 10$ .



Изображена зависимость инкремента  $\Gamma/N^{2/3}$  от  $\alpha$  при различных значениях  $\tilde{\beta} = \beta \gamma_0^{2/3}$ : 1 —  $\tilde{\beta} = 0$ ; 2 —  $\tilde{\beta} = 1$ ; 3 —  $\tilde{\beta} = 10$ . Пунктирная кривая изображает пороговый инкремент (6).

Между кривыми 2 и 3 лежит область, соответствующая высокотемпературной плазме. Пунктирная кривая изображает пороговый инкремент (6), при получении которого фактически предполагалось, что скорость звука бесконечна. При этом ионный звук выравнивал возмущения давления вдоль силовых линий и при  $\alpha < \alpha_k$  неустойчивость не развивалась. При учете конечности скорости ионного звука картина принципиально иная: возмущения давления не успевают выравниваться вдоль силовых линий и при любом градиенте давления существует баллонная неустойчивость, развивающаяся на альфеновских колебаниях. Инкремент этих диссипативных баллонных мод уменьшается при увеличении давления плазмы, что видно из рисунка.

Оценка коэффициентов переноса по соотношению  $X \sim \gamma/K^2$  показывает, что они порядка  $\alpha a^2/\tau_s$ , т. е. порядка псевдоклассических.

Авторы считают своим приятным долгом поблагодарить академика Б.Б.Кадомцева за полезные обсуждения и советы.

Институт атомной энергии  
им. И.В.Курчатова

Поступила в редакцию  
4 марта 1980 г.

### Литература

- [1] A.H.Glasser, I.M.Greene, I.L.Johnson. Phys. Fluids, **18**, 875, 1975.
- [2] A.B.Mikajlovskii. Nucl. Fusion, **15**, 95, 1975.
- [3] C.Mercier. Nucl. Fusion, **1**, 47, 1960.
- [4] О.П.Погуце, Э.И.Крченко. Письма в ЖЭТФ, **28**, 344, 1978.
- [5] Б.Б.Кадомцев, О.П.Погуце. Вопросы теории и плазмы. Вып. 5, М., Атомиздат, 209, 1967.
- [6] I.W.Connor, R.J.Hastie, I.B.Taylor. Phys. Rev. Lett., **40**, 396, 1978.
- [7] В.Д.Шафранов, Э.И.Крченко. ЖЭТФ, **53**, 1157, 1967.
- [8] О.П.Погуце, Э.И.Крченко. Физика плазмы, **5**, 786, 1979.
- [9] G.Bateman, O.B.Nelson. Phys. Rev. Lett., **41**, 805, 1978.